

石少の三主応力セコ断強度

東北大学工学部 正会員 柳沢栄司
 東北大学大学院 学生会員 岡本敏郎
 東北大学工学部 学生会員 手塚繁巳

1. はじめに

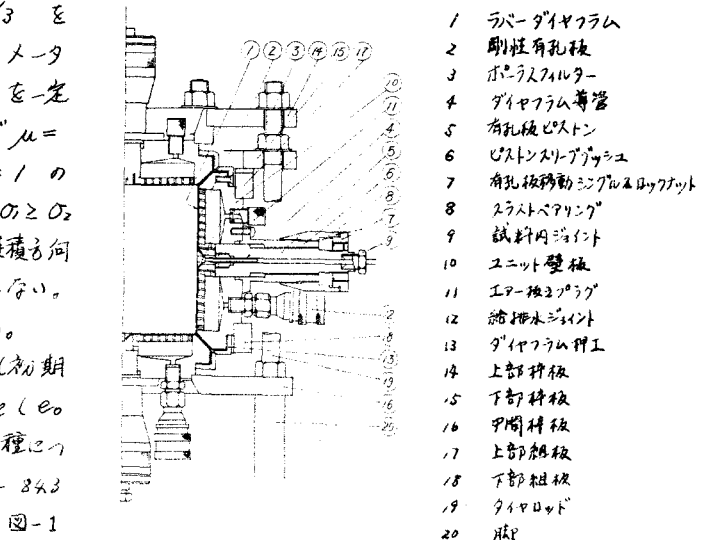
材料力学における破壊基準として、金属材料の分野では von Mises 則、Tresca 則が一般に適用されている。土質力学の分野でよく引用されるのは Mohr-Coulomb 則である。よにおけるこれらの基準の妥当性を実験的に検討する方法は大略次の二つのグループに分けられる。一方は円柱円筒形供試体を用い、供試体内の応力分布は一様でないが供試体全体が塑性平衡状態にあると仮定して実験を行う方法である。他方は三主応力の直方体あるいは立方体に直接作用させる方法である。前者の中には Kirkpatrick (1957), Wu-Loh & Malvern (1963), Habib (1953) らの実験がある。後者には応力を載荷する手段として (1) 3封を剛板とするもの pearse (1971) (2) 3封をゴム膜とするもの Ko & Scott (1967), Arthur & Menzies (1972) Lomize & Kryzhanovskiy (1967) (3) 2封をゴム膜、1封を剛板とするもの Sutherland & Mesdary (1969) Shibata & Karube (1965) (4) 1封をゴム膜、2封を剛板とするもの Green (1969) Lade & Duncan (1973) がある。(3) (4) は (1) (2) の複合形式である。他にこの種の試験機の草分け的存在である Kjellman (1936) は平板上に並べた小円筒角柱群を載荷している。

2. 実験装置及び方法

我々が用いた装置は立方体供試体 (10^{cm} × 10^{cm} × 10^{cm}) にゴム膜により圧力を載荷するものである。装置は加圧機構、歪測定装置、三軸室からなる。この種の試験機の特徴があるのは三軸室である。三軸室の概要は図-1に示してある。三封のユニットを組み合わせることにより三軸室が形成される。各ユニットはプレキヤーラバーダイヤフラム (厚さ 0.5mm)、剛性有孔板、給排水ジョイント、エア抜きプラグ、ダイヤフラム導管からできている。プレキヤーラバーダイヤフラムの中央にはポラスストーンが取り付けられ体積変化が測定できる。応力はブルドン管により制御され、その精度は 0.01 kg/cm² である。

実験は供試体作成後 1 kg/cm² まで等方圧縮を行い、平均主応力 $p = (\sigma_1 + \sigma_2 + \sigma_3) / 3$ を 1 kg/cm² に保ち、かつ Lode のパラメータ $\mu = (2\sigma_2 - \sigma_1 - \sigma_3) / (\sigma_1 - \sigma_3)$ を一定にして排気セコ断を行っている。ここで $\mu = -1$ のとき三軸圧縮 ($\sigma_2 = \sigma_3$)、 $\mu = 1$ のとき三軸伸張 ($\sigma_1 = \sigma_2$) となる。($\sigma_1 \geq \sigma_2 \geq \sigma_3$) 最大主応力 σ_1 方向は荷の堆積方向とし、セコ断中に主応力の方向は変化しない。この時の応力経路は図-2に示してある。

試料は気乾した豊浦砂で、dense (初期間隙率比 $e_0 = 0.658$) medium dense ($e_0 = 0.768$) loose ($e_0 = 0.895$) の三種について実験を行った。相対密度はそれぞれ 84.3%, 82.5%, 72.9% である。



3. 実験結果の考察

破壊点は入り線に入るとおられるところとした。その断強度は Mohr-Coulomb の基準に従い、粘着力を 0 とおいて

$$\phi = \frac{(\sigma_1/\sigma_3)_f - 1}{(\sigma_1/\sigma_3)_f + 1} \quad (\sigma_1/\sigma_3)_f: \text{破壊時の主応力比}$$

から内部摩擦角 ϕ を算出した。図-3 には種々の μ について、dense, mediuem dense, loose の三種の内部摩擦角を示している。この図の中には円柱三軸圧縮試験から求めた強度も示している。(直径 10 cm, 高 12 cm, $e_0 = 0.792, 0.750$ *印で表示) 初期期間 μ 比は mediuem dense の場合に近く、本実験装置による強度はほぼ同じ強度である。破壊曲線の筋が初期期間 μ 比により、応力経路は依らないことは既に発表されている⁽²⁾。いずれの密度においても、内部摩擦角が三軸圧縮 ($\mu = -1$) で最小値となり、 $\mu = -3/5$ までは上昇している。 $\mu = -2/5$ 以上ではほぼ一定となり、三軸伸張 ($\mu = 1$) では三軸圧縮より強度が大きい。三軸伸張付近ではわずかな強度が低下するようと思われるがこれらは⁽²⁾の結果と一致している。また同一密度で内部摩擦角の最大値と最小値との差は loose $5^\circ 30'$, mediuem dense $5^\circ 6'$, dense $6^\circ 9'$ と密になる程強度の差が大きいといえる。平均状態では ($\bar{\epsilon}_2 = 0$), $\mu = -1/3$ である。

図-4 には既往の実験結果と von Mises 則, Tresca 則が示されている。どの実験結果も Mohr-Coulomb の破壊基準に近いことがわかるが、Mohr-Coulomb の基準は三軸圧縮強度値を用いると空想的に密度と強く見積る。実験結果に最も異なるのは三軸伸張における強度が三軸圧縮のそれと等しいからかという点である。本実験結果では三軸伸張の強度が三軸圧縮の強度より明らかに大きく、Green, Lisle and Duncan, Procter and Bar などの結果とはほとんど一致した破壊曲線を示している。本実験装置と従来の装置で異なるのに同じ結果が得られた事は破壊曲線が本実験のようになると考えてよいと思われる。

本研究から、湿りな粘土質、御環助載っている東北大学の菅教授河上房義先生、ハヤ工大的教授諸戸清史先生に深く感謝致します。

・論文は河上房義先生に送られた論文の最大流力の方向上。
 ・河上先生は河上房義先生(三軸圧縮試験) 第2回工学博士
 ・1967年度土木学会東北支部発表会

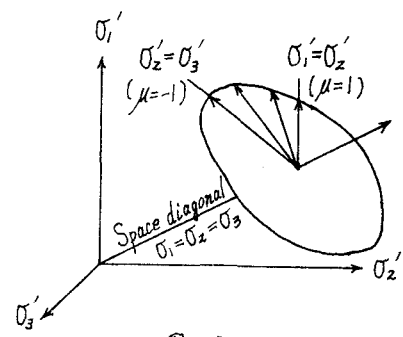


図-2

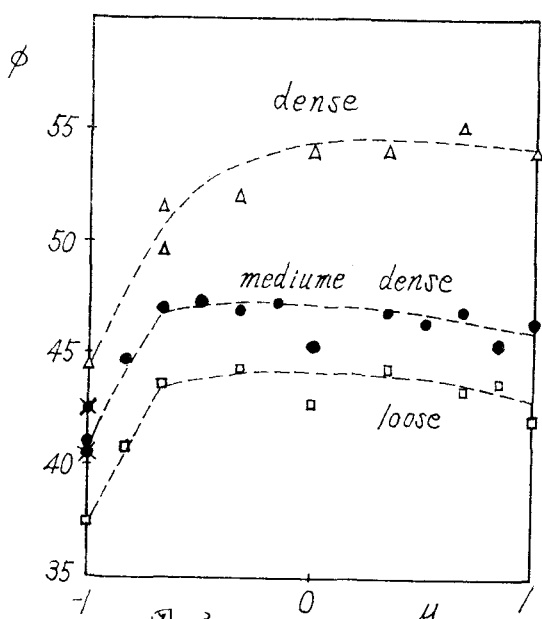


図-3

- A Ko (1966), Ko & Scott (1967)
- B Maheshwari & Francis (1960)
- C Sutherland & Mesdary (1968)
- D Green & Bishop (1969)
- E Lomize & Kryzhanovskiy (1967)
- F Sutherland & Mesdary (1969)

図-4

